

خون

فصلنامه علمی تحقیقی

دوره ۱۲ شماره ۱ بهار ۹۴ (۳۱-۲۳)

مقاله پژوهشی

پلیمورفیسم کدون ۷۲ ژن P53 در بیماران مبتلا به لوسمی میلوئید حاد در ایران

مهدی نیکبخت دستجردی^۱

چکیده

ساقه و هدف

وجود یک پلیمورفیسم شایع در کدون شماره ۷۲ ژن P53، با افزایش خطر ابتلا به سرطان‌های ریه، پروستات، سینه و کولورکتال همراه است. در این مطالعه این پلیمورفیسم را در نمونه‌های لوسمی میلوئید حاد از بیمارستان الزهرا شهر اصفهان بررسی نمودیم.

مواد و روش‌ها

در یک مطالعه مورد شاهدی، ۵۹ نمونه خون مبتلایان به لوسمی میلوئید حاد و ۵۹ نمونه سالم بررسی شدند. ژنوتیپ‌های کدون ۷۳ ژن P53 توسط روش Allel specific PCR تعیین شد. برای مقایسه توزیع فراوانی سه ژنوتیپ مختلف کدون ۷۲ در نمونه‌های سرطانی با توزیع فراوانی این سه ژنوتیپ در نمونه‌های شاهد از آزمون کای دو و نرم‌افزار SPSS ۱۱ استفاده شد.

یافته‌ها

محصول PCR برای آلل پرولین ۱۷۷ bp و برای آلل آرژنین ۱۴۱ bp بود. توزیع ژنوتیپ پلیمورفیسم P53 برای ژنوتیپ‌های آرژنین/آرژنین، آرژنین/پرولین و پرولین/پرولین در گروه شاهد به ترتیب $11/9\%$ ، $81/4\%$ و $6/8\%$ و در گروه نمونه‌های لوسمی میلوئید حاد به ترتیب $33/9\%$ ، $61/5\%$ و $1/5\%$ بود. اختلاف معناداری بین توزیع فراوانی ژنوتیپ‌ها در دو گروه مشاهده شد ($p = 0.04$).

نتیجه گیری

پلیمورفیسم کدون ۷۲ ژن P53 ممکن است یک فاکتور زمینه‌ساز ژنتیکی برای سرطان لوسمی میلوئید حاد در ایران محسوب شود.

کلمات کلیدی: ژن‌های TP53، لوسمی حاد میلوئید، پلیمورفیسم (ژنتیک)، ایران

تاریخ دریافت: ۹۳/۲/۲

تاریخ پذیرش: ۹۳/۷/۲

۱- مؤلف مسؤول: PhD آنatomی - دانشیار دانشکده پزشکی دانشگاه علوم پزشکی اصفهان - خیابان هزار جریب - اصفهان - ایران - کد پستی: ۸۱۷۴۴۱۷۶

۴۵۶

سرطان بعد از بیماری‌های قلبی - عروقی، دومین علت اصلی مرگ و میر در جهان می‌باشد^(۱). سرطان‌های هماتولوژیک از دو رده اصلی سلول‌های خونی منشاء می‌گیرند که شامل رده سلولی میلوئید و لغنوئید می‌باشد. بر اساس طبقه‌بندی WHO، اصطلاح میلوئید شامل تمامی سلول‌های متعلق به رده‌های گرانولوسیتی (شامل نوتروفیل، اوزینوفیل و بازوفیل) منوسیت، ماکروفاز، اریتروئید، مگاکاریوسیت و ماست سل می‌باشد. طبقه‌بندی WHO برای سرطان‌های میلوئید، به منظور تشخیص اولیه نمونه‌های خون محیطی یا مغز استخوان که مشکوک به سرطان‌های میلوئید هستند، پیش از شروع درمان، کاربرد دارد. درصد سلولی با فنتویپ بلاست، معیاری برای طبقه‌بندی سرطان‌های میلوئید و قضاوت در مورد سرعت رشد آن‌ها محسوب می‌شود. از نظر WHO وجود حداقل ۲۰٪ سلول‌های بلاست در خون محیطی یا مغز استخوان به عنوان لوسمی میلوئید حاد (AML) در نظر گرفته می‌شود. با این وجود در برخی از ناهنجاری‌های ژنتیکی، تشخیص AML ممکن است بدون توجه به شمارش بلاست‌های خون محیطی یا مغز استخوان انجام پذیرد^(۲).

شیوع سرطان‌های هماتولوژیک در کشورهای غربی رو به فزونی است. این نوع بدخیمی‌ها با توجه به ویژگی‌های بالینی و تغییرات ژنتیکی اکتسابی در آن‌ها، بیماری‌های ناهمگونی محسوب می‌شوند. به نظر می‌رسد عوامل متعددی از قبیل جهش‌های ژنی، تابش اشعه یونیزان و عوامل شیمیائی مثل بنزن در بروز این سرطان‌ها نقش ایفا می‌نمایند. این عوامل تاثیر کارسینوژنیک خود را با آسیب رساندن به DNA پروژنیترهای خونی اعمال نموده و در نهایت منجر به بدخیمی می‌گردند. با این وجود در اغلب موارد وجود تفاوت‌های ژنتیکی می‌تواند عاملی برای خطر بالای ابتلا به سرطان باشد^(۳).

ژن P53 به عنوان مهم‌ترین ژن مهارکننده تومور، بر روی بازوی کوتاه کروموزوم ۱۷ قرار دارد^(۱۷P1۳) و از ۱۱ اکگرون و ۱۰ ایترон تشکیل شده است که حاوی ۲۰ کیلو باز می‌باشد. این ژن پروتئین P53 را کد می‌کند که یک فسفوپروتئین هسته‌ای است و از ۳۹۳ اسید آمینه تشکیل

میلی لیتری جمع آوری شدند. به منظور پارافین زدایی، به هر یک از تیوب ها ۵۰۰ میکرولیتر گزینلن اضافه شد و در بن ماری به مدت ۲ ساعت در درجه حرارت ۵۵ درجه سانتی گراد قرار داده شد.

سپس سانتریفیوژ در Xg ۱۸۰۰۰ به مدت ۵ دقیقه انجام شده و مجدداً با اضافه نمودن ۵۰۰ میکرولیتر گزینلن، مرحله پارافین زدایی تکرار گردید. پس از پارافین زدایی، آبدھی نمونه ها توسط الكل های نزولی انجام گرفت. در مرحله بعد با استفاده از (روش - آلمان) high pure PCR template preparation kit DNA از بافت ها استخراج گردید. DNA استخراج شده در تیوب های ۱/۵ میلی لیتری جمع آوری شد و به یخچال در دمای ۲۰ درجه سانتی گراد منتقل گردید.

ب- نمونه های خونی:

بعد از matching افراد سالم از نظر سن و جنس با نمونه های سرطانی، حدود ۱ میلی لیتر از خون محیطی آنها جمع آوری شد و ۲۰۰ میکرولیتر از آن جهت استخراج high pure PCR template preparation DNA با استفاده از kit (روش، آلمان)، به کار رفت.

تعیین غاظت DNA:

در این مرحله غاظت DNA استخراج شده توسط دستگاه اسپکترو فوتومتر یا از طریق load ۵ میکرولیتر از محلول DNA استخراج شده بر روی ژل آگاروز ٪۵ تعیین گردید.

تکثیر توالی پلی مورفیک کدون ۷۲ ژن P53 توسط PCR: PCR از طریق استفاده از ۱۰۰-۳۰۰ نانوگرم DNA واحد تک پلیمراز، ۱/۵ میلی مول MgCl₂ و ۲۰۰ میکرومول از هر یک از dATP، dGTP، dCTP، dTTP و ۲ میکرومول از هر یک از زوج آغازگرهای اختصاصی برای تکثیر پروولین و آرژنین در حجم نهایی ۲۵ میکرولیتر انجام گرفت(۲۴).

توالی آغازگرهای اختصاصی برای تکثیر پروولین عبارتند از:

می گردد(۱۷). تحقیقات اخیر بیان می کنند که پلی مورفیسم کدون ۷۲ روی فانکشن ژن P53 تاثیر دارد و نشان می دهد که پروتئین دارای پروولین، توانایی بیشتری در القاء توقف چرخه سلولی و بر عکس قدرت کمتری برای القای آپوپتوز نسبت به پروتئین دارای آرژنین دارد. بر همین اساس پاسخ دھی این ژنوتیپ ها به داروهای شیمی درمانی متفاوت گزارش شده است(۷).

با توجه به این که این پلی مورفیسم وابسته به موقعیت جغرافیایی و نژادی است و فراوانی برخی از سرطان های انسانی از جمله سرطان خون با آن مرتبط است، پاسخ دھی این ژنوتیپ به داروهای شیمی درمانی متفاوت گزارش شده است. هدف از این مطالعه بررسی این پلی مورفیسم در نمونه های لوسمی میلوئید حاد و مقایسه آن با نمونه های سالم در شهر اصفهان بود.

مواد و روش ها

جمع آوری نمونه ها:

در یک مطالعه مورد - شاهدی، نمونه های سرطانی بالغ بر ۱۰۰ نمونه بلوک پارافینی به عنوان مورد و نمونه های خونی از خون افراد فاقد سرطان از بیمارستان الزهرا به عنوان گروه شاهد جمع آوری شد. قبل از نمونه گیری، از کلیه افراد فاقد سرطان جهت گرفتن خون رضایت نامه کتبی اخذ شد. نمونه های خونی از افرادی گرفته شد که از نظر سن و جنس با نمونه های سرطانی match شده بودند. از بین نمونه های سرطانی مربوط به سال های قبل که به صورت بلوک های پارافینی در آرشیو پاتولوژی بیمارستان موجود بودند، پس از ثبت اطلاعات دمو گرافیک و تایید تشخیص پاتولوژی، ۵۹ نمونه که از کیفیت بهتری برخوردار بودند، برای انجام مراحل بعدی مورد استفاده قرار گرفتند.

استخراج DNA:

الف- بلوک های پارافینی:

بعد از تایید تشخیص پاتولوژی، سه تا پنج قطعه از برش های بلوک پارافینی مربوط به هریک از نمونه های AML به ضخامت ۱۰ تا ۱۵ میکرومتر در میکروتیوب ۱/۵

یافته ها

نتایج دموگرافیک:

برای انجام این مطالعه ۵۹ نمونه سرطانی و ۵۹ نمونه خونی افراد سالم جمع آوری شد (جدول ۱).

جدول ۱: نتایج دموگرافیک ۵۹ نمونه AML

نمونه های AML	
تعداد (درصد)	جنس
(۶۴) ۳۸	مرد
(۳۶) ۲۱	زن
(۳-۷۵) ۳۷	میانگین سنی (دامنه)

نتایج استخراج DNA از نمونه ها:

DNA استخراج شده از نمونه های سرطانی و نمونه خونی افراد سالم دارای غلظت و کیفیت مناسب بوده و به طور موفقیت آمیزی توسط PCR تکثیر یافته است. DNA استخراج شده از خون افراد سالم نیز همگی دارای غلظت و کیفیت مناسب بوده و به طور موفقیت آمیزی توسط PCR تکثیر یافته است.

نتایج Allele specific PCR:

محصول PCR برای آلل پرولین bp ۱۷۷ و برای آلل آرژنین bp ۱۴۱ بود (شکل های ۱ و ۲). در نمونه های با ژنوتیپ آرژنین/آرژنین فقط با آغازگرهای اختصاصی برای تکثیر آرژنین، باندی با اندازه ۱۴۱ bp و در نمونه های با ژنوتیپ پرولین/پرولین فقط با آغازگرهای اختصاصی برای تکثیر پرولین، باندی با اندازه ۱۷۷ bp ایجاد شد. در حالی که در نمونه های با ژنوتیپ آرژنین/پرولین با هر دو دسته این آغازگرهای باند تشکیل گردید. توزیع فراوانی سه ژنوتیپ مختلف کدون ۷۲ ژن P53 در ۵۹ نمونه سرطانی و ۵۹ نمونه خونی افراد فاقد سرطان در جدول ۲ ارایه شده است. اختلاف بین توزیع فراوانی ژنوتیپ آرژنین/آرژنین کدون ۷۲ ژن P53 در نمونه های سرطانی با نمونه های خونی افراد فاقد سرطان معنادار بود به طوری که احتمال ابتلای افراد دارای ژنوتیپ آرژنین/آرژنین، به AML، بیش از سه برابر سایر افراد بود ($p = 0.04$).

F: GCCAGAGGCTGCTCCCC

R: CGTGCAAGTCACAGACTT

توالی آغازگرهای اختصاصی برای تکثیر آرژنین عبارتند

از:

F: TCCCCCTTGCCGTCCCAA

R: CTGGTGCAGGGGCCACGC

تنظیم دستگاه ترموسایکلر برای تکثیر توالی پلی مورفیک

کدون ۷۲ ژن P53 به ترتیب زیر انجام گرفت:

مرحله اول: دنا توراسیون ابتدایی با دمای ۹۴ درجه سانتی گراد به مدت ۳ دقیقه

مرحله دوم: که ۳۵ سیکل و شامل سه بخش زیر بود:

الف- دنا توراسیون با دمای ۹۴ درجه سانتی گراد به مدت ۳۰ ثانیه

ب- آنیلینگ با دمای ۵۴ درجه سانتی گراد به مدت ۳۰ ثانیه برای تکثیر پرولین و با دمای ۶۰ درجه سانتی گراد برای تکثیر آرژنین

ج- اکستنشن با دمای ۷۲ درجه سانتی گراد به مدت ۳۰ ثانیه

مرحله سوم: اکستنشن نهایی با دمای ۷۲ درجه سانتی گراد به مدت ۵ دقیقه

بعد از اتمام کار محصول PCR تا زمان الکتروفورز در یخچال نگهداری شد.

ژل الکتروفورز:

حدود ۵ میکرولیتر از محصول واکنش همراه با ۱ میکرولیتر dye loading در ژل آگاروز ۲٪ در بافر $\times ۰/۵$ الکتروفورز شده و روی یک UV Transluminator مشاهده شد.

تجزیه و تحلیل داده ها:

اطلاعات به دست آمده از طریق نرم افزار SPSS ۱۱، مورد تجزیه و تحلیل آماری قرار گرفت. برای مقایسه توزیع فراوانی سه ژنوتیپ مختلف کدون ۷۲ در نمونه های سرطانی با توزیع فراوانی این سه ژنوتیپ در نمونه های شاهد از کای دو استفاده شد. کوچکتر از $0/05$ p-value معنادار تلقی گردید.

جدول ۲: توزیع فراوانی سه ژنوتیپ مختلف کدون ۷۲ در ۴۹ نمونه خونی افراد فاقد سرطان به عنوان گروه شاهد. اختلاف بین توزیع فراوانی ژنوتیپ آرژنین/آرژنین کدون ۷۲ P53 در نمونه‌های سرطانی با نمونه‌های خونی افراد فاقد سرطان معنادار می‌باشد(۰/۰۴)، احتمال ابتلاء افراد دارای ژنوتیپ آرژنین/آرژنین، با فاصله اطمینان ۹۵٪ به AML، بیش از سه برابر افراد بود(OR= ۳/۸۱)(p=۰/۰۴).

p-value	OR (CI ٪ ۹۵)	گروه شاهد		گروه بیماران سرطانی تعداد(درصد)	ژنوتیپ
		تعداد	درصد		
۰/۰۴	۳/۸۱ (۱/۶۴-۹/۹۰)	(۱۱/۹) ۷	(۳۳/۹) ۲۰	(۳۳/۹) ۲۰ (۶۱) ۳۶ (۵/۱) ۹	آرژنین/آرژنین
		(۸۱/۴) ۴۸	(۶۱) ۳۶		آرژنین/پرولین
		(۶/۸) ۴	(۵/۱) ۹		پرولین/پرولین

OR: Odds Ratio

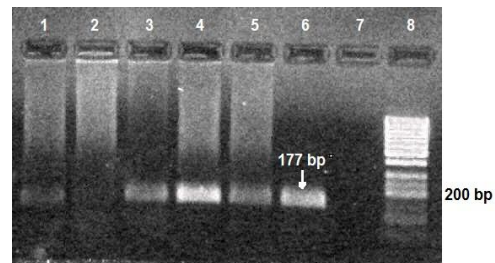
CI: Confidence Interval

بحث

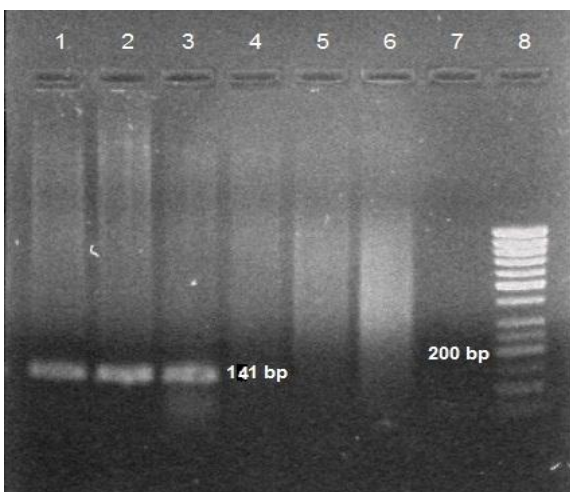
مشخص شده است که پلی‌مورفیسم کدون ۷۲ P53 به عنوان یک فاکتور خطر در برخی از انواع سرطان‌های انسانی نقش ایفا می‌کند. استوری و همکارانش نشان دادند که در سرطان گردن رحم مرتبط با Human HPV (papilloma-virus)، بیان بیش از اندازه پروتئین هموزیگوت آرژنین P53 وجود دارد و مشخص نمودند که افراد هموزیگوت آرژنین P53، هفت برابر از سایر ژنوتیپ‌ها، برای ابتلاء به سرطان گردن رحم مرتبط با HPV، مستعدتر می‌باشند(۲۵). این یافته توسط دو مطالعه دیگر نیز تایید شده است، هر چند که توسط برخی از محققین رد شده است(۲۶-۳۰). تنوع بین آزمایشگاه‌ها در تعیین توالی P53 ممکن است مسؤول اختلاف در یافته‌ها باشد(۳۱). در مطالعه‌های دیگر احتمال ابتلاء به سرطان‌های مثانه و کارديا در ژنوتیپ هموزیگوت آرژنین P53 بیش از سایر ژنوتیپ‌ها گزارش شده است(۳۲، ۳۳).

از طرف دیگر نشان داده شده است افرادی که دارای ژنوتیپ هموزیگوت پرولین P53 هستند، احتمال بیشتری برای ابتلاء به سرطان پستان، ریه و پروستات دارند(۳۴، ۳۴، ۱۴). (۱۲).

گزارش شده است که فراوانی موتاسیون در ژن P53 دارای آلل آرژنین بیش از ژن P53 دارای آلل پرولین است. از طرف دیگر نوع پرولین دار باعث القاء توقف چرخه سلولی در مرحله G₁ می‌شود(۳۵). مطالعه‌های دیگر نشان داده است پلی‌مورفیسم کدون ۷۲ P53 بر روی ظرفیت ترمیم DNA این پروتئین مؤثر است به طوری که سلول‌های بیان‌کننده نوع پرولین دار پروتئین P53 در مقایسه



شکل ۱: نمونه‌های با ژنوتیپ پرولین/پرولین فقط با آغازگرهای اختصاصی برای تکثیر پرولین، باندی با اندازه ۱۷۷ bp ایجاد نموده‌اند. نمونه‌های شماره ۱ و ۳-۶ دارای باند؛ نمونه شماره ۲ فاقد باند؛ شماره ۷ کنترل منفی؛ شماره ۸: مارکر ۵۰ تایی



شکل ۲: نمونه‌های با ژنوتیپ آرژنین/آرژنین فقط با آغازگرهای اختصاصی برای تکثیر آرژنین باندی با اندازه ۱۴۱ bp تشکیل داده‌اند. نمونه‌های شماره ۱-۳ دارای باند؛ نمونه‌های شماره ۴-۶ فاقد باند؛ شماره ۷ کنترل منفی و شماره ۸: مارکر ۵۰ تایی.

به نظر می‌رسد که نوع آرژنین‌دار پروتئین، تمایل بیشتری برای داشتن موتاسیون داراست و بنابراین در شروع بیماری AML نقش دارد در حالی که نوع پرولین‌دار آن کارائی کمتری در القاء آپوپتوز داشته و بنابراین باعث پیشرفت بیماری و عدم پاسخدهی به داروهای شیمی درمانی می‌گردد.

فراوانی‌های آلی در جمعیت‌های گوناگون متفاوت گزارش شده است. بر طبق گزارش‌های ارایه شده، جمعیت آمریکای لاتین، ایالات متحده و اروپا میزان بالایی از آلل آرژنین را نسبت به آآل پرولین بروز می‌دهند که در مقایسه با آن در جمعیت‌های آفریقایی و آسیایی فراوانی آل آرژنین کمتر است(۴۰-۴۳). بنابراین با وجود این یافته‌های متفاوت، بررسی نقش پلی‌مورفیسم ژن P53 در ایجاد AML نیاز به مطالعه‌های گستردۀ تری دارد. در مطالعه حاضر عوامل زمینه‌ساز بالقوه از قبیل کشیدن سیگار، عادات زندگی و ابتلا به ویروس HPV کترل نشد. این‌ها موارد مهمی هستند که در مطالعه‌های آینده برای ارزیابی پلی‌مورفیسم P53 باستانی مورد بررسی قرار گیرند.

نتیجه‌گیری

یافته‌های مطالعه حاضر مشخص می‌کند که پلی‌مورفیسم کدون ۷۲ ژن P53 می‌تواند به عنوان یک فاکتور زمینه‌ساز ژنتیکی برای ایجاد سرطان لوسمی میلوبنید حاد در ایران محسوب شود. با این وجود مطالعه‌های بیشتر جهت روش‌شدن نقش این پلی‌مورفیسم در ایجاد این سرطان لازم است.

تشکر و قدردانی

از معاونت پژوهشی دانشکده پزشکی به جهت تصویب این طرح پژوهشی و کلیه پرسنل محترم آزمایشگاه مرکزی دانشکده پزشکی تشکر و قدردانی به عمل می‌آید.

با نوع آرژنین‌دار این پروتئین، به طور مؤثرتری چندین ژن هدف وابسته به P53 را که در امر ترمیم DNA نقش دارند، فعال می‌نمایند(۳۶). هم چنین گزارش شده است که پلی‌مورفیسم کدون ۷۲ ژن P53 می‌تواند بر روی بیان این ژن تاثیرگذار باشد زیرا جابه‌جایی نوکلئوتید در ناحیه ۷۲ transactivation ژن اتفاق می‌افتد(۳۷). هم چنین کدون ۷۲ P53 در ناحیه هیدروفوبیک پروتئین واقع و دارای فعالیت‌هایی است که در امر مهار رشد سلولی ضروری می‌باشد(۳۸).

در این مطالعه از طریق تجزیه و تحلیل ۵۹ نمونه سرطانی AML و مقایسه آن با ۵۹ نمونه خونی افراد سالم در شهر اصفهان، ارتباط معناداری بین پلی‌مورفیسم کدون ۷۲ P53 و AML مشاهده شد به طوری که افراد دارای ژنوتیپ آرژنین/آرژنین احتمال ابتلای آن‌ها به AML بیش از سه برابر سایر افراد بود. این نتایج ممکن است میان این مطلب باشد که موتاسیون بالای گزارش شده برای نوع آرژنین‌دار پروتئین ممکن است باعث ناپایداری پروتئین و فقدان فعالیت مهارکننده‌ی آن شده و منجر به ایجاد بدخیمی میلوبنید گردد. البته در این مطالعه موتاسیون‌های ژن P53 بررسی نشده که لازم است در مطالعه‌های آتی مورد توجه قرار گیرد. به علاوه نوع آرژنین‌دار پروتئین نقش کمتری در فعل سازی ژن‌های ترمیم‌کننده DNA نسبت به نوع پرولین‌دار، ایفاء می‌نماید(۳۶). در مطالعه‌های مورد - شاهدی انجام گرفته در ایتالیا و چین نیز ارتباط معناداری بین پلی‌مورفیسم کدون ۷۲ ژن P53 و خطر ابتلا به لوسمی مشاهده شده در حالی که چنین ارتباطی در کشور بزریل مشاهده نشد(۲۱، ۲۲). در مطالعه انجام شده در هند نیز ارتباط معناداری بین ژنوتیپ آرژنین با ایجاد AML به دست آمد. به علاوه، نشان داده شد که پیش‌آگهی بیماران با ژنوتیپ پرولین ضعیفتر است(۳۹).

References :

- 1- Kumar V, Abbas AK, Fausto N, Mitchell RN. Robbins Basic Pathology. 8th ed. Philadelphia: Saunders Elsvier; 2007. p. 174.
- 2- Vardiman JW, Thiele J, Arber DA, Brunning RD, Borowitz MJ, Porwit A, et al. The 2008 revision of the World Health Organization (WHO) classification of myeloid neoplasms and acute leukemia: rationale and important changes. *Blood* 2009; 114(5): 937-51.
- 3- Weng Y, Lu L, Yuan G, Guo J, Zhang Z, Xie X, et al. *P53* codon 72 polymorphism and hematological cancer risk: an update meta-analysis. *PLoS One* 2012; 7(9): e45820.
- 4- Hofseth LJ, Hussain SP, Harris CC. *p53*: 25 years after its discovery. *Trends Pharmacol Sci* 2004; 25(4): 177-81.
- 5- Wang SP, Wang WL, Chang YL, Wu CT, Chao YC, Kao SH, et al. *p53* controls cancer cell invasion by inducing the MDM2-mediated degradation of Slug. *Nat Cell Biol* 2009; 11(6): 694-704.
- 6- Cao Z, Song JH, Park YK, Maeng EJ, Nam SW, Lee JY, et al. The *p53* codon 72 polymorphism and susceptibility to colorectal cancer in Korean patients. *Neoplasma* 2009; 56(2): 114-8.
- 7- Santos AM, Sousa H, Portela C, Pereira D, Pinto D, Catarino R, et al. *TP53* and P21 polymorphisms: response to cisplatin/paclitaxel-based chemotherapy in ovarian cancer. *Biochem Biophys Res Commun* 2006; 340(1): 256-62.
- 8- Chang FH, Tzeng DS, Lee TM, Chen TC, Hsu LS, Lung FW. Mutations in the *p53* tumor suppressor gene in colorectal cancer in Taiwan. *Kaohsiung J Med Sci* 2003; 19(4): 151-8.
- 9- Zhang J, Zhuo WL, Zheng Y, Zhang YS. Polymorphisms of *TP53* codon 72 with prostate carcinoma risk: a meta-analysis. *Med Oncol* 2009; 27(2): 540-6.
- 10- Aoki MN, da Silva do Amaral Herrera AC, Amarante MK, do Val Carneiro JL, Fungaro MH, Watanabe MA. CCR5 and *p53* codon 72 gene polymorphisms: implications in breast cancer development. *Int J Mol Med* 2009; 23(3): 429-35.
- 11- Faghani M, Nikbahkt M, Salehi M, Rabbani M, Talebi A, Soleimani B, et al. Study of *p53* polymorphism at codon 72 in patients of breast cancer in Isfahan. *J Isfahan Med* 2007; 25(84): 679-85.
- 12- Mahasneh AA, Abdel-Hafiz SS. Polymorphism of *p53* gene in Jordanian population and possible associations with breast cancer and lung adenocarcinoma. *Saudi Med J* 2004; 25(11): 1568-73.
- 13- Zhou C, Chen H, Wang A. *P53* codon 72 polymorphism and lung cancer risk: evidence from 27,958 subjects. *Tumour Biol* 2013; 34(5): 2961-9.
- 14- Suzuki K, Matsui H, Ohtake N, Nakata S, Takei T, Nakazato H, et al. A *p53* codon 72 polymorphism associated with prostate cancer development and progression in Japanese. *J Biomed Sci* 2003; 10(4): 430-5.
- 15- Dastjerdi MN. *TP53* codon 72 polymorphism and *P53* protein expression in colorectal cancer specimen in Isfahan. *Acta Med Iran* 2011; 49(2): 71-7.
- 16- Nikbahkt Dastjerdi M, Mirmohammad Sadeghi H. *TP53* codon 72 heterozygosity may promote microsatellite instability in sporadic colorectal cancer. *Yakhteh* 2010; 12(1): 25-32.
- 17- Nikbahkt Dastjerdi M, Salehi M, Mohajeri MR, Morsali F, Mirmohammad Sadeghi H, Esfandiary E. Evidence for an association of *TP53* codon 72 polymorphism with sporadic colorectal cancer risk in Isfahan. *JRMS* 2008; 13(6): 317-23.
- 18- Nikbakht Dastjerdi M, Hasanzadeh M, Talebi A, Akbari M. Investigation of *p53* codon 72 polymorphism in patients with nonmelanoma skin cancers in Isfahan. *J Isfahan Med School* 2011; 29(141): 679-84. [Article in Farsi]
- 19- Xiong X, Wang M, Wang L, Liu J, Zhao X, Tian Z, et al. Risk of MDM2 SNP309 alone or in combination with the *p53* codon 72 polymorphism in acute myeloid leukemia. *Leuk Res* 2009; 33(11): 1454-8.
- 20- Bergamaschi G, Merante S, Orlandi E, Galli A, Bernasconi P, Cazzola M. *TP53* codon 72 polymorphism in patients with chronic myeloid leukemia. *Haematologica* 2004; 89(7): 868-9.
- 21- Majid A, Richards T, Dusanjh P, Kennedy DB, Miall F, Gesk S, et al. *TP53* codon 72 polymorphism in patients with chronic lymphocytic leukaemia: identification of a subgroup with mutated IGHV genes and poor clinical outcome. *Br J Haematol* 2011; 153(4): 533-5.
- 22- Hamú CS, Oliveira MVP, Silva AMTC, Silva CC, Cruz AD. Codon 72 polymorphism of the *TP53* gene in patients suspected to have CML. *Rev Bras Hematol Hemoter* 2007; 29(4): 346-50. [Article in Portuguese]
- 23- Nikbakht Dastjerdi M, Eslami B, Abutorabi R. Association of *TP53* gene codon 72 polymorphism with endometriosis risk in Isfahan. *Iran J Reprod Med* 2013; 11(6): 473-8.
- 24- Hildesheim A, Schiffman M, Brinton LA, Fraumeni Jr, Herrero R, Bratti MC, et al. *p53* polymorphism and risk of cervical cancer. *Nature* 1998; 396(6711): 531-2.
- 25- Storey A, Thomas M, Kalita A, Harwood C, Gardiol D, Mantovani F, et al. Role of a *p53* polymorphism in the development of human papillomavirus-associated cancer. *Nature* 1998; 393(6682): 229-31.
- 26- Zehbe I, Voglino G, Wilander E, Genta F, Tommasino M. Codon 72 polymorphism of *p53* and its association with cervical cancer. *Lancet* 1999; 354(9174): 218-9.
- 27- Agorastos T, Lambropoulos AF, Constantinidis TC, Kotsis A, Bontis JN. *p53* codon 72 polymorphism and risk of intra-epithelial and invasive cervical neoplasia in Greek women. *Eur J Cancer Prev* 2000; 9(2): 113-8.
- 28- Helland A, Langerod A, Johnsen H, Olsen AO, Skovlund E, Borresen-Dale AL. *p53* polymorphism and risk of cervical cancer. *Nature* 1998; 396(6711): 530-1.
- 29- Josefsson AM, Magnusson PK, Ylitalo N, Quarforth-Tubbin P, Ponten J, Adami HO, et al. *p53* polymorphism and risk of cervical cancer. *Nature* 1998; 396(6711): 531.
- 30- Lanham S, Campbell I, Watt P, Gornall R. *p53* polymorphism and risk of cervical cancer. *Lancet* 1998; 352(9140): 1631.

- 31- Makni H, Franco EL, Kaiano J, Villa LL, Labrecque S, Dudley R, *et al.* *P53* polymorphism in codon 72 and risk of human papillomavirus-induced cervical cancer: effect of inter-laboratory variation. *Int J Cancer* 2000; 87(4): 528-33.
- 32- Soultzis N, Sourvinos G, Dokianakis DN, Spandidos DA. *p53* codon 72 polymorphism and its association with bladder cancer. *Cancer Lett* 2002; 179(2): 175-83.
- 33- Zhang ZW, Newcomb P, Hollowood A, Feakins R, Moorghen M, Storey A, *et al.* Age-associated increase of codon 72 Arginine *p53* frequency in gastric cardia and non-cardia adenocarcinoma. *Clin Cancer Res* 2003; 9(6): 2151-6.
- 34- Dunning AM, Healey CS, Pharoah PD, Teare MD, Ponder BA, Easton DF. A systematic review of genetic polymorphisms and breast cancer risk. *Cancer Epidemiol Biomarkers Prev* 1999; 8(10): 843-54.
- 35- Marin MC, Jost CA, Brooks LA, Irwin MS, O'Nions J, Tidy JA, *et al.* A common polymorphism acts as an intragenic modifier of mutant *p53* behavior. *Nat Genet* 2000; 25(1): 47-54.
- 36- Siddique MM, Balram C, Fiszer-Maliszewska L, Aggarwal A, Tan A, Tan P, *et al.* Evidence for selective expression of the p*P53* codon 72 polymorphs: implications in cancer development. *Cancer Epidemiol Biomarkers Prev* 2005; 14(9): 2245-52.
- 37- Muller PA, Vousden KH. Mutant *p53* in cancer: new functions and therapeutic opportunities. *Cancer Cell* 2014; 25(3): 304-17
- 38- Muller PA, Vousden KH. *p53* mutations in cancer. *Nat Cell Biol* 2013; 15(1): 2-8.
- 39- Dunna NR, Vure S, Sailaja K, Surekha D, Raghunadharao D, Rajappa S, *et al.* *TP53* codon 72 polymorphism and risk of acute leukemia. *Asian Pac J Cancer Prev* 2012; 13(1): 347-50.
- 40- Beckman G, Birgander R, Själander A, Saha N, Holmberg PA, Kivelä A, *et al.* Is *p53* polymorphism maintained by natural selection? *Hum Hered* 1994; 44(5): 266-70.
- 41- Ojeda JM, Ampuero S, Rojas P, Prado R, Allende JE, Barton SA, *et al.* *p53* codon 72 polymorphism and risk of cervical cancer. *Biol Res* 2003; 36(2): 279-83.
- 42- Zhu ZZ, Cong WM, Liu SF, Dong H, Zhu GS, Wu MC. Homozygosity for Pro of *p53* Arg72Pro as a potential risk factor for hepatocellular carcinoma in Chinese population. *World J Gastroenterol* 2005; 11(2): 289-92.
- 43- Lu XM, Zhang YM, Lin RY, Liang XH, Zhang YL, Wang X, *et al.* *p53* polymorphism in human papillomavirus-associated Kazakh's esophageal cancer in Xinjiang, China. *World J Gastroenterol* 2004; 10(19): 2775-8.

Original Article

Investigation of *p53* codon 72 polymorphism in patients with acute myeloid leukemia in Iran

Nikbakht Dastjerdi M.¹

¹School of Medicine, Isfahan University of Medical Sciences, Isfahan, Iran

Abstract

Background and Objectives

A common polymorphism at codon 72 in the *p53* gene has been associated with the increased risk for lung, oral, prostate, breast and colorectal cancers. We studied this polymorphism in acute myeloid leukemia specimen from Alzahra Hospital in Isfahan city.

Materials and Methods

In the present case-control study, 59 whole blood specimen from normal people and 59 acute myeloid leukemia specimen were analyzed. *p53* codon 72 genotypes were identified using allele-specificPCR. Chi-square test was used for the comparison of the frequency distribution of three genotypes of codon 72 in cases and control specimen.

Results

Resulting PCR products were either 177bp for proline allele or 141bp for arginine allele. The genotype distribution for *p53* polymorphism showed 11.9%, 81.4%, and 6.8% for the Arg/Arg, Arg/Pro, and Pro/Pro genotypes in control samples and 33.9%, 61%, and 5.1% in acute myeloid leukemia specimen, respectively. The differences in the distribution of *p53* codon 72 polymorphism between the cases and controls were statistically significant ($p = 0.04$).

Conclusions

Deferasirox is relatively more effective than deferoxamine in reducing iron content of the liver and heart. Moreover, deferasirox is more effective in reducing cardiac iron content relative to liver iron content.

Key words: *TP53* Genes, Acute Myeloid Leukemia, Polymorphism(Genetic), Iran

Received: 22 Apr 2014

Accepted: 24 Sep 2014

Correspondence: Nikbakht Dastjerdi M., PhD of Anatomy. Associate Professor of School of Medicine, Isfahan University of Medical Sciences.

Postal Code: 81744176, Isfahan, Iran. Tel: (+98311) 37922403; Fax: (+98311) 37922517
E-mail: nikbakht@med.mui.ac.ir